

] 10 5r

KAWAKI EELGIHO

■ (1973) ■

---

, G w E "I\$ ^ M s\*x P K)E m b | Ø\_6l M 9 \$x%°'2>+4 ( P3, s P K > | g  
\$ g M s\*x P K)E m \_ X 8 Z>+

E<sup>100%</sup><sub>98%</sub>

E<sup>100%</sup><sub>98%</sub>

E<sup>100%</sup><sub>98%</sub>

E<sup>100%</sup><sub>98%</sub>

j 'v U (■)

E (■) ...

---

O[ ☺ :

M s\*x P K)E m b( U y : \_ M 4 ( P3, s P K)E m \\$ g M s\*x P K)E m \_ X 8 Z>\*  
7 \_3^ 8 g"g \ ' "g ' \_ 6 )E m b | Ø Óu>\* Q bO<sub>2</sub>O£ ' G \ % \$x\ K S  
4 ( P3, s P K)E m b >\* P K)z \ 3H \ b ^ MO Ø i I O ZO ' "g ' W \_  
> E )E m l Ø Óu S \$ g M s\*x P K)E m b \_ c>\* 3H \_ P K Z M s\*x g"g

## 引張力を受ける特異なすみ肉溶接継手の強度 に関する実験的研究

Experimental Study on the Strength of the Special Types of Fillet Welded Joints  
—Partial Penetration Groove Welded Joint and Oblique Fillet Welded Joint—

滝沢 章三\*

Shozo Takizawa

山本 昇\*\*

Noboru Yamamoto

Synopsis:

このような状況下にあるにもかかわらず、これ

る結果を得た。Table 1, 2 中の試験体記号は次の

ページ 6 個を使用して、加力方向の変形と溶接線方

Vol 5 No 4

日本語力と日本文化を学ぶための教科書

増加につれてルート部の溶込みを安定させるのが難しくなると同時に、試験体製作精度も確保にくくなる欠点がある。これらを考慮しつつ慎重に加工したが、 $\theta \geq 60^\circ$  の試験体では偏心載荷の原因となる芯ずれが認められた。事実、 $\theta \geq 60^\circ$  では曲げなどの2次要因が働いていることが実験中に観

に伴い直線的に減少している。タイプ別に観察すれば、 $\theta$  が  $0^\circ$  の値に比べて、 $45^\circ$  では A タイプが 26%、B タイプは 32% の減少となっている。また、A、B 両タイプの間には、 $\theta = 0^\circ$  で  $130\text{kg/mm}$ 、 $\theta = 45^\circ$  で  $60\text{kg/mm}$  程度の強度差が認められ、全体として補強材肉を付加した R タイプの方が

密やかにハサウエー接着不完全化が生じた。一方、被覆アーマーの付加材用が、主としてセメント

った。したがって、ここで検討する範囲として

ことが示されている。



壞角、換言すれば溶接ルートと補強すみ肉の上止

**Table 3** Dimensions of specimens

端部を結ぶ線にそった破面となっている。すなわち、両タイプともに破面がルートと溶接表面を結

Specimen name	Type	Number of specimens	$\varphi$ (°)	a (mm)	s (mm)
---------------	------	---------------------	------------------	-----------	-----------

## 3・2 実験方法

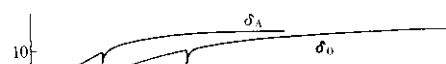


Table 4 Test results of oblique fillet welded joints

Specimen	*	$P_{\max}$	$a'_A$	$a_0'$	$a_A$	$a_0$	$l_A$	$l_0$	$\sigma_T'$	$\sigma_T$
----------	---	------------	--------	--------	-------	-------	-------	-------	-------------	------------

[REDACTED]



るための脚長の算出に当っては、(2)式を用いればよいことがわかる。

(7) 星子英子

は、 $\sigma_T/\sigma_C=0.8\sim0.9$ であることを考慮すると Fig. 12 では強度的には全般にやや低く、交角  $30^\circ$  では一段と低下しているが、Fig. 13 より、実際のど厚で評価すると、交角  $30^\circ$ ,  $45^\circ$  でも強

終破壊が個々ののど厚の絶対的大きさではなく、左右のすみ肉ののど厚の比率に影響されることを示しているといえよう。

重が増大していったとき鋸角側と鈍角側のどちらが先に限界値  $\sigma_A$  または  $\sigma_o$  に達するかは、左右すみ肉の剛性に依存するため明らかでない。

ここで、両側すみ肉において同時に  $\sigma_A$ ,  $\sigma_o$  に達する、すなわち、同時に破断すると仮定すれば、

$\sigma_A \cdot S_A + \sigma_o \cdot S_o = \sigma_T (S_A + S_o) = P_C \dots \dots \dots (4)$

の関係がなりたつ。ただし、 $P_C$ :  $P_{\max}$  の計算値、  
 $S_A$ : 鋸角側のど断面積 =  $a_A l_A$ ,  $S_o$ : 鈍角側のど断面積 =  $a_o l_o$  である。

(4)式は  $\sigma_T$  が  $\sigma_A$  と  $\sigma_o$  に関してのど断面積の加重平均値であることを示しており、溶接長が

$P_C$  に対して、

$$0.5 - \alpha \leq \frac{S_A}{S_A + S_o} < 0.5 + \alpha \quad \text{の場合}$$

$$P_{\max} = \beta P_C$$

$$\frac{S_A}{S_A + S_o} < 0.5 - \alpha, \text{ または}$$

$$0.5 + \alpha \leq \frac{S_A}{S_A + S_o} \quad \text{の場合}$$

$$P_{\max} = \gamma P_C$$

となる。ここで実験結果より、 $\alpha = 0.05$  として  
 $\beta, \gamma$  の平均値を求めると、それぞれ  $\beta = 0.98$ ,  
 $\gamma = 0.88$  となるが、実験値のばらつきを考慮すれ

